

Fig. 212.

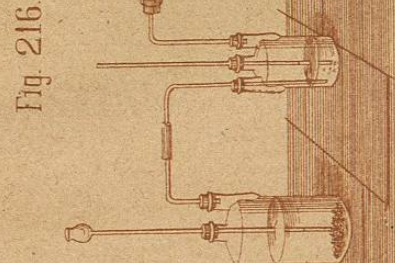


Fig. 216.

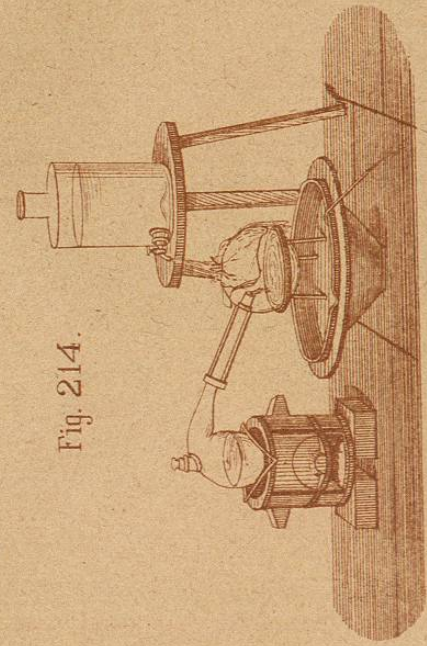


Fig. 214.

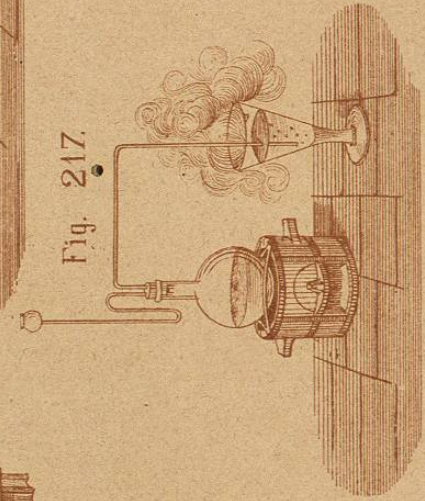


Fig. 217.

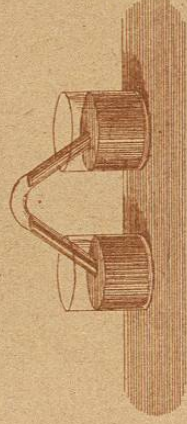


Fig. 213.

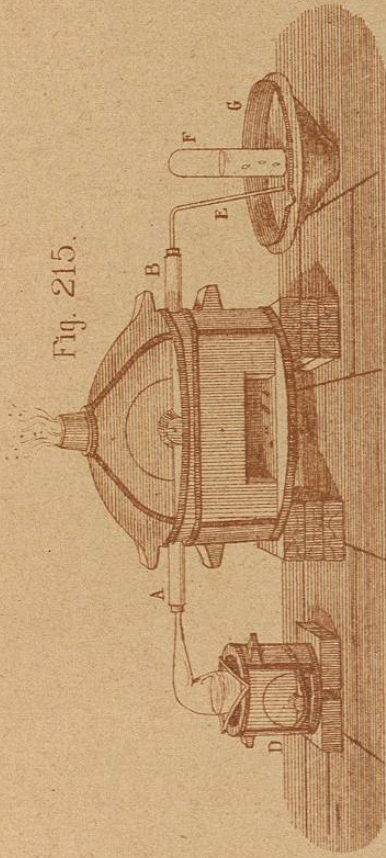


Fig. 215.

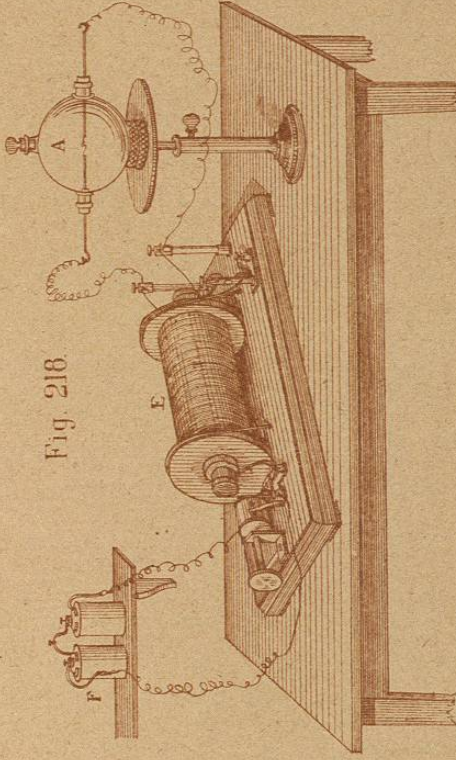


Fig. 218.



Fig. 219.

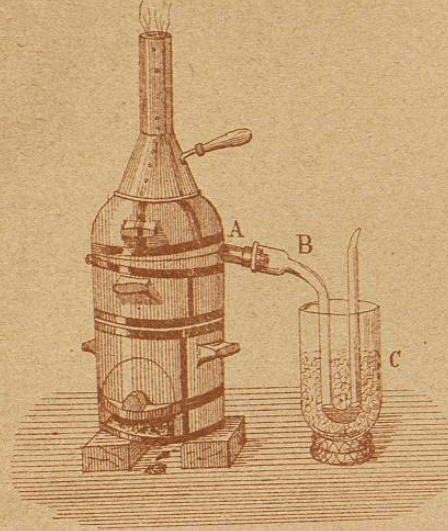


Fig. 221.

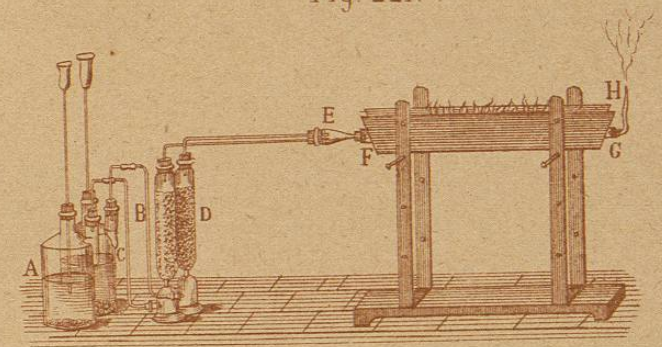


Fig. 222.

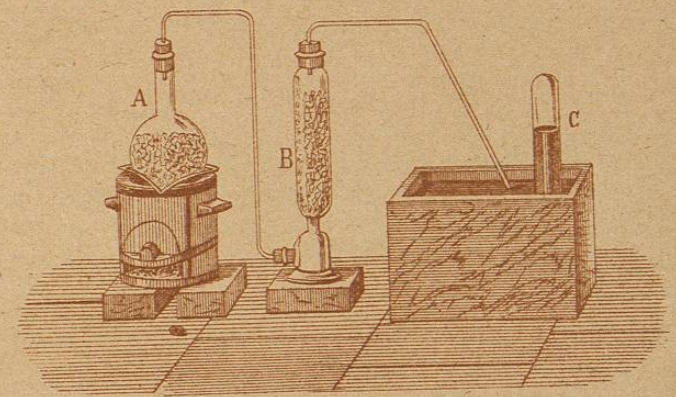


Fig. 220.

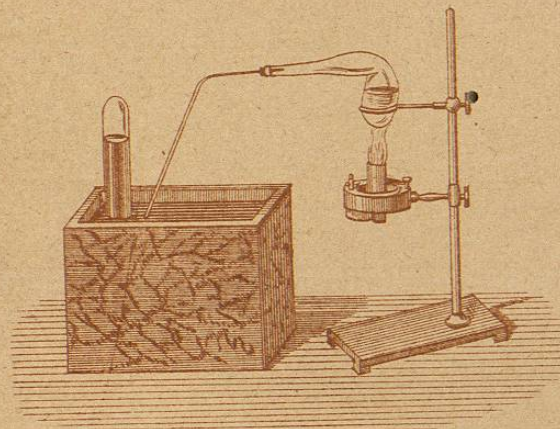


Fig. 224.

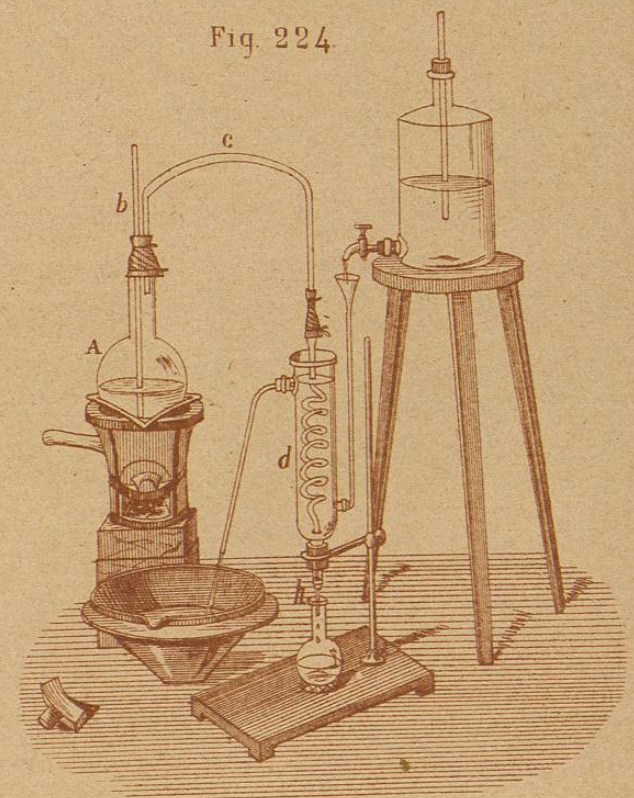
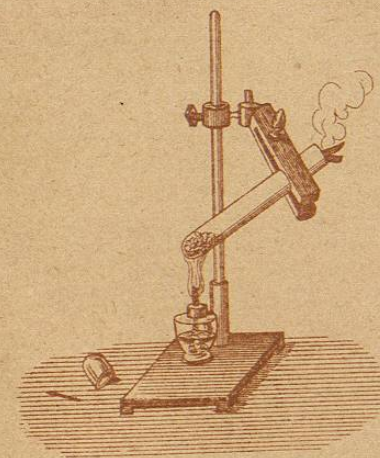


Fig. 223.





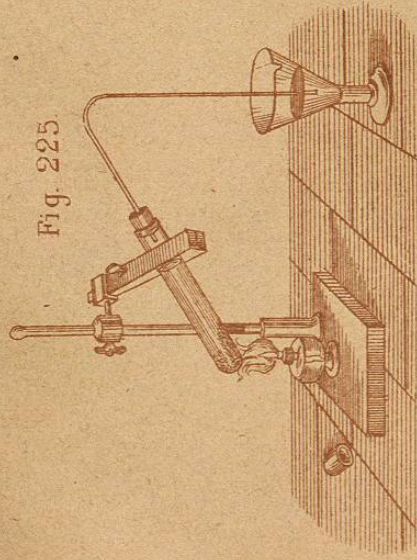


Fig. 225.

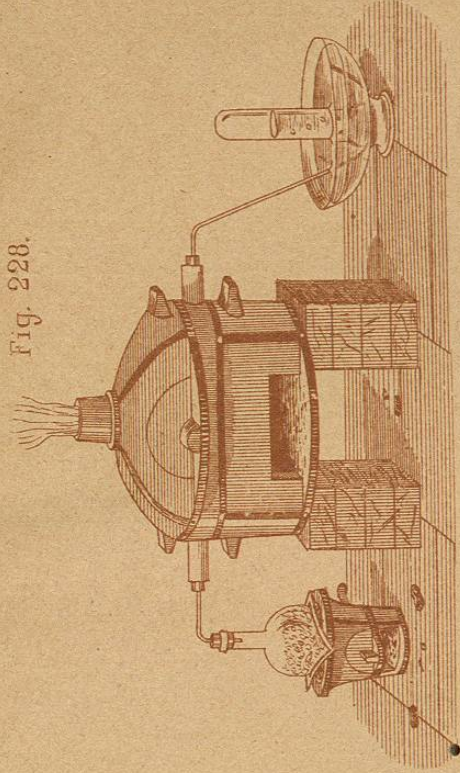


Fig. 228.

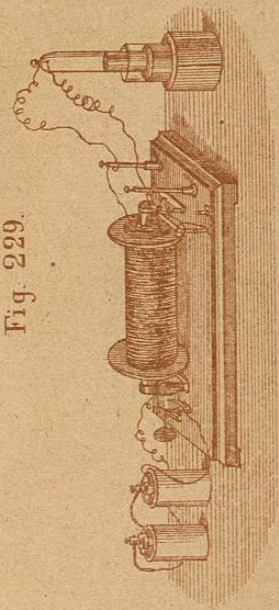


Fig. 229.



Fig. 226.

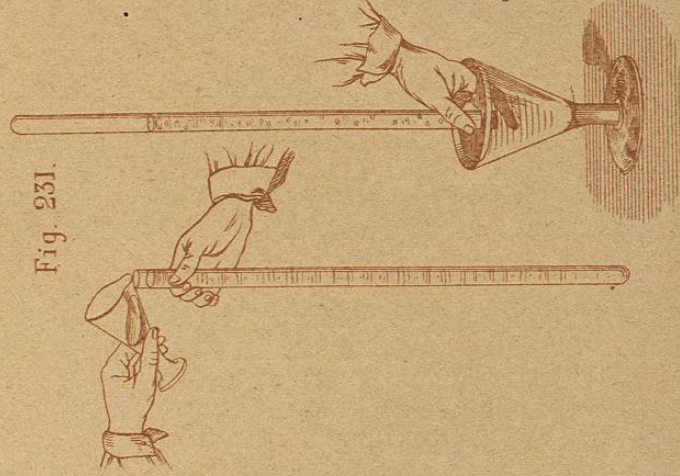


Fig. 231.

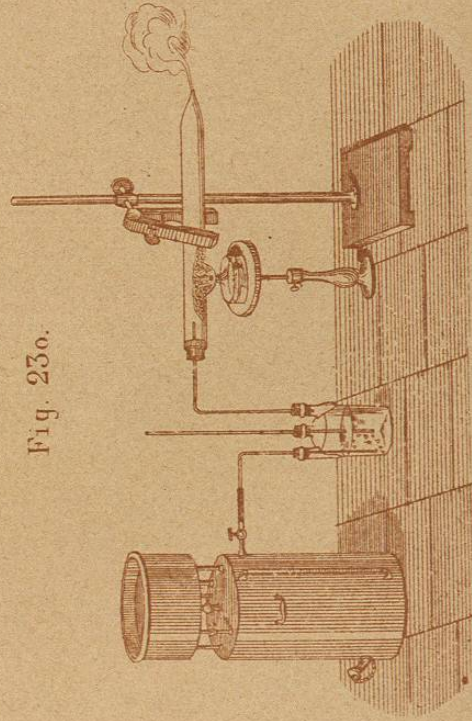


Fig. 230.

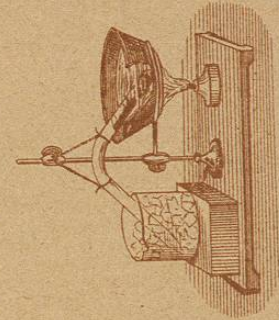


Fig. 227.



Fig. 232.

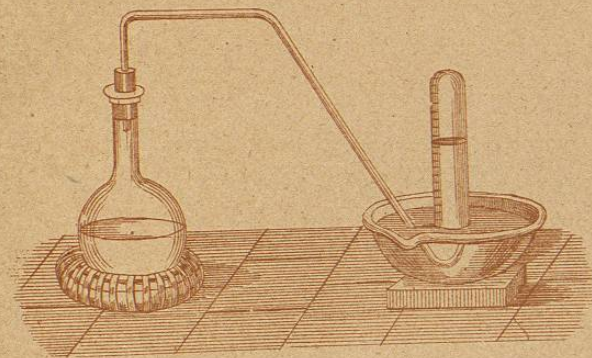


Fig. 234.



Fig. 235.



Fig. 235.



Fig. 236.

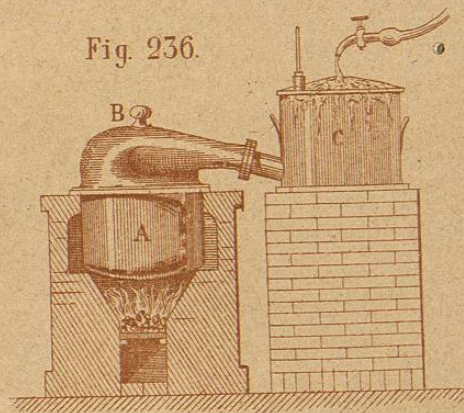


Fig. 237.

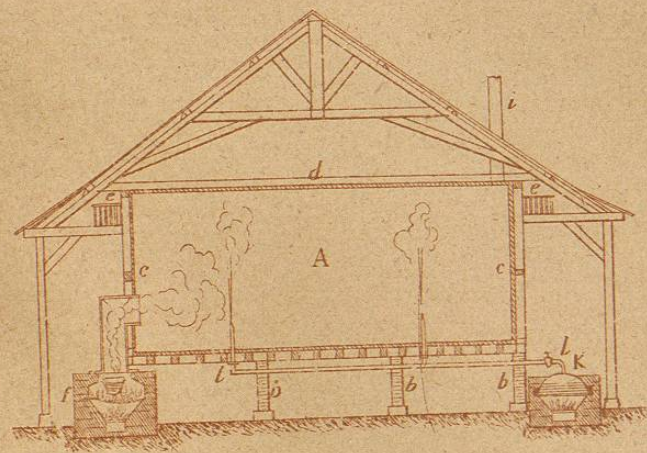


Fig. 238.

